

ПРОСТОЕ ДЕФОРМИРОВАНИЕ ШТАМПОМ С РАЗДЕЛЯЮЩЕЙСЯ ПО КООРДИНАТАМ И ВРЕМЕНИ ИНТЕНСИВНОСТЬЮ СКОРОСТЕЙ ДЕФОРМАЦИЙ ЖЕСТКО-ВЯЗКО-ПЛАСТИЧЕСКОГО ПОЛУПРОСТРАНСТВА

КОЛОКОЛЬЧИКОВ В. В., КУРЖАНСКАЯ Е. Г.

Прандтлем [1] и Хиллом [2] построены два классических решения задачи о деформировании прямоугольным штампом жестко-пластического полупространства. В работе [3] решение задачи Прандтля обобщается на случай сжатия слоя шероховатыми плитами для сферического деформированного состояния идеально пластического материала. В [4—6] решены некоторые контактные задачи для вязко-пластического материала Бингама.

В настоящей работе используется модель жестко-вязко-пластического материала с запаздыванием текучести. Получены уравнения, в фиксированный момент времени являющиеся уравнениями характеристик. Для частного класса простого деформирования с разделяющейся по координатам и времени интенсивностью скоростей деформаций построено обобщение решения Хилла при наличии вязко-пластических эффектов, описываемых рассматриваемой моделью.

1. Определяющее соотношение, связывающее девиатор напряжения s_{ij} с девиатором скоростей деформации e_{ij} в нежесткой области, для жестко-вязко-пластической среды примем в виде

$$s_{ij} = \frac{\hat{k}e_{ij}}{g}, \quad g = \left(\frac{1}{2} e_{ij} e_{ij} \right)^{1/2} \quad (1.1)$$

где \hat{k} — интегральный оператор, определенный следующим образом:

$$\hat{k}e_{ij} = \int_{-\tau}^t k(t-z) de_{ij}(z) \quad (1.2)$$

Здесь t — текущее время, τ — переменная интегрирования, $k(t-\tau)$ — ядро интегрального оператора, определенное из эксперимента на растяжение с постоянной скоростью деформации.

Если $k(t) = kh(t)$, где $k = \text{const}$, а $h(t)$ — функция Хевисайда, то модель (1.1) перейдет в модель идеальной жестко-пластической среды [7, 8]. Модель (1.1) является частным случаем без старения модели Н. Х. Арутюниана — Д. Д. Ивлева [9], учитывающей неоднородное старение в теории идеальной вязкопластичности [9]. Уравнения нелинейной

вязкоупругости неоднородно стареющих тел предложены в [10]. Ниже ядро $k(t)$ взято из опытов [11] по растяжению полизобутилена со скоростью деформаций $5,7 \cdot 10^{-3}$ 1/сек. Уравнение, являющееся аналогом уравнения поверхности нагружения, но с учетом эффектов вязкости, находим из соотношений (1.1)

$$\tau^2 g^2 = (\hat{k} e_{ij})(\hat{k} e_{ij}), \quad \tau = \left(\frac{1}{2} s_{ij} s_{ij} \right)^{1/2} \quad (1.3)$$

Предлагаемая модель вязко-пластического течения обладает рядом особенностей. Она справедлива для скоростей деформаций, больших некоторой критической деформации g_* . В начальный момент материала, удовлетворяющий модели (1.1)–(1.2) ведет себя идеально-пластически. При этом $k(0)$ является мгновенным начальным пределом текучести. При дальнейшем изменении скоростей деформирования в таком материале существенна история их изменения. То есть происходит запаздывание текучести. Например, течения с меньшими скоростями, чем в начальный момент, могут происходить во время релаксации напряжений (фиг. 2а, б).

Скорости деформации для плоской деформации даются формулами [7, 8]:

$$e_x = -e_y = g \cos 2\varphi \\ \gamma_{xy} = g \sin 2\varphi \quad (1.4)$$

Компоненты напряжения при использовании (1.1) и (1.3) запишутся так:

$$\sigma_x = \sigma + \frac{\hat{k}(g \cos 2\varphi)}{g} \\ \sigma_y = \sigma - \frac{\hat{k}(g \cos 2\varphi)}{g} \\ \tau_{xy} = \frac{\hat{k}(g \sin 2\varphi)}{g} \quad (1.5)$$

Здесь σ — гидростатическое давление несжимаемой среды.

Обозначим через \hat{k}^{-1} обратный оператор к оператору \hat{k} . Тогда уравнения (1.5) будут следующими:

$$\frac{1}{g} \hat{k}^{-1}(g \sigma_x) = \frac{1}{g} \hat{k}^{-1}(g \sigma) + \cos 2\varphi \\ \frac{1}{g} \hat{k}^{-1}(g \sigma_y) = \frac{1}{g} \hat{k}^{-1}(g \sigma) - \cos 2\varphi \\ \frac{1}{g} \hat{k}^{-1}(g \tau_{xy}) = \sin 2\varphi \quad (1.6)$$

Аналогично преобразуются уравнения равновесия

$$\begin{aligned} \frac{\partial}{\partial x} \frac{1}{g} \hat{k}^{-1}(g z_x) + \frac{\partial}{\partial y} \frac{1}{g} \hat{k}^{-1}(g z_{xy}) &= A(x, y, t) \\ \frac{\partial}{\partial y} \frac{1}{g} \hat{k}^{-1}(g z_y) + \frac{\partial}{\partial x} \frac{1}{g} \hat{k}^{-1}(g z_{xy}) &= B(x, y, t) \end{aligned} \quad (1.7)$$

где

$$\begin{aligned} A(x, y, t) &= \frac{1}{g} \left[\hat{k}^{-1} \left(z_x \frac{\partial g}{\partial x} \right) + \hat{k}^{-1} \left(z_{xy} \frac{\partial g}{\partial y} \right) - \right. \\ &\quad \left. - \frac{1}{g} \hat{k}^{-1} (g z_x) \frac{\partial g}{\partial x} - \frac{1}{g} \hat{k}^{-1} (g z_{xy}) \frac{\partial g}{\partial y} \right] \\ B(x, y, t) &= \frac{1}{g} \left[\hat{k}^{-1} \left(z_y \frac{\partial g}{\partial y} \right) + \hat{k}^{-1} \left(z_{xy} \frac{\partial g}{\partial x} \right) - \right. \\ &\quad \left. - \frac{1}{g} \hat{k}^{-1} (g z_y) \frac{\partial g}{\partial y} - \frac{1}{g} \hat{k}^{-1} (g z_{xy}) \frac{\partial g}{\partial x} \right] \end{aligned} \quad (1.8)$$

Для идеальной пластичности, когда $k(t) = kh(t)$, величины $A(x, y, t)$ и $B(x, y, t)$ равны нулю. Оказывается, что это свойство величин A и B справедливо для модели (1.1), если временные и пространственные аргументы функции интенсивности скоростей деформаций g разделяются.

Подстановка (1.6) в уравнения равновесия (1.7) дает

$$\begin{aligned} \frac{\partial}{\partial x} l - 2 \sin 2\varphi \frac{\partial \varphi}{\partial x} + 2 \cos 2\varphi \frac{\partial \varphi}{\partial y} &= A(x, y, t) \\ \frac{\partial}{\partial y} l + 2 \sin 2\varphi \frac{\partial \varphi}{\partial y} + 2 \cos 2\varphi \frac{\partial \varphi}{\partial x} &= B(x, y, t) \end{aligned} \quad (1.9)$$

Здесь

$$l = \frac{1}{q} \hat{k}^{-1}(z g) \quad (1.10)$$

Запишем уравнения Коши для скоростей деформаций с учетом несжимаемости материала

$$e_x = \frac{\partial u}{\partial x}, \quad e_y = \frac{\partial v}{\partial y}, \quad 2z_{xy} = \frac{\partial v}{\partial x} + \frac{\partial u}{\partial y} \quad (1.11)$$

где u — скорость перемещения вдоль оси x , v — скорость перемещений вдоль оси y .

Подставляя (1.4) в (1.11), получаем уравнения вида

$$\begin{aligned} 2 \sin 2\varphi \frac{\partial u}{\partial x} - \cos 2\varphi \left(\frac{\partial v}{\partial x} + \frac{\partial u}{\partial y} \right) &= 0 \\ 2 \sin 2\varphi \frac{\partial v}{\partial y} + \cos 2\varphi \left(\frac{\partial v}{\partial x} + \frac{\partial u}{\partial y} \right) &= 0 \end{aligned} \quad (1.12)$$

Введем δ -вариацию по x и y при фиксированном времени t . Тогда

$$\delta l = \frac{\partial l}{\partial x} dx + \frac{\partial l}{\partial y} dy, \quad \delta\varphi = \frac{\partial \varphi}{\partial x} dx + \frac{\partial \varphi}{\partial y} dy \quad (1.13)$$

где l определяется при помощи (1.10).

Разрешим (1.9), (1.12), (1.13) относительно $\frac{\partial l}{\partial x}$, $\frac{\partial l}{\partial y}$, $\frac{\partial \varphi}{\partial x}$, $\frac{\partial \varphi}{\partial y}$.

Получим

$$\begin{aligned} \frac{\partial l}{\partial x} &= -\frac{1}{M} [2\delta\varphi dy - (\delta l - Bdy)(\sin 2\varphi dy + \cos 2\varphi dx) + \\ &\quad + Ady(\sin 2\varphi dx - \cos 2\varphi dy)] \end{aligned} \quad (1.14)$$

$$\begin{aligned} \frac{\partial l}{\partial y} &= \frac{1}{M} [2\delta\varphi dx - (\delta l - Adx)(\sin 2\varphi dx - \cos 2\varphi dy) - \\ &\quad - Bdx(\sin 2\varphi dy - \cos 2\varphi dx)] \end{aligned}$$

$$M = \cos 2\varphi \left[dy - dx \operatorname{tg} \left(\varphi - \frac{\pi}{4} \right) \right] \left[dy - dx \operatorname{tg} \left(\varphi + \frac{\pi}{4} \right) \right]$$

Аналогичные соотношения справедливы для $\frac{\partial \varphi}{\partial x}$, $\frac{\partial \varphi}{\partial y}$.

Следуя Levi, Geiringer, решаются относительно производных u и v по координатам уравнения (1.12) совместно с дифференциальными соотношениями

$$\begin{aligned} \delta u &= \frac{\partial u}{\partial x} dx + \frac{\partial u}{\partial y} dy \\ \delta v &= \frac{\partial v}{\partial x} dx + \frac{\partial v}{\partial y} dy \end{aligned} \quad (1.15)$$

В результате получаются известные равенства

$$\frac{\partial v}{\partial y} = -\frac{\partial u}{\partial x} = \frac{dy\delta v + dx\delta u}{\left[dy - dx \operatorname{tg} \left(\varphi - \frac{\pi}{4} \right) \right] \left[dy - dx \operatorname{tg} \left(\varphi + \frac{\pi}{4} \right) \right]} \quad (1.16)$$

Приравнивая числитель и знаменатель дробей (1.14) и (1.16) нулю, получим дифференциальные уравнения характеристик

$$\begin{aligned} \frac{dy}{dx} &= -\frac{\delta u}{\delta v} = \operatorname{tg} \left(\varphi \mp \frac{\pi}{4} \right) \\ \delta\varphi \mp \frac{1}{2}\delta l &= \mp dy \left[B - A \operatorname{tg} \left(\varphi \pm \frac{\pi}{4} \right) \right] \end{aligned} \quad (1.17)$$

Отличие характеристик (1.17) для модели (1.1) от случая идеальной пластичности состоит в том, что теперь они рассматриваются в фиксированном момент времени (в (1.17) фигурирует δ -вариация по координате в фиксированный момент времени t), во-вторых, в зависимости от t (1.10) от интенсивности скоростей деформаций, в-третьих, в зависимости от величин A и B , определяемых по (1.8).

При простом деформировании угол φ , определяемый (1.4), не зависит от времени и поэтому из первых двух равенств (1.17) следует, что характеристики в плоскостях x , y и z имеют тот же вид, что и для идеальной пластичности [8]. При сложном деформировании величина φ становится зависящей от времени и ее связь с координатами тела существенно усложняется. Ниже остановимся на случае простого деформирования.

Дополнительно предположим, что для интенсивности скоростей деформаций пространственные и временные координаты разделяются

$$g(x, y, t) = L(x, y) S(t) \quad (1.18)$$

Тогда из (1.8), (1.18) следует, что

$$A(x, y, t) = 0, \quad B(x, y, t) = 0 \quad (1.19)$$

При выполнении (1.18), (1.19) уравнения характеристик (1.17) в плоскости φ , g с учетом (1.10) имеют вид

$$\dot{\varphi} + \frac{1}{2} \dot{g} \left(\frac{1}{g} k^{-1}(g\dot{v}) \right) = 0 \quad (1.20)$$

Уравнения (1.20), справедливые при простом деформировании с интенсивностью скоростей деформаций вида (1.18) для модели вязко-пластичности (1.1), (1.2), описывают два действительных семейства характеристик, отвечающих верхним и нижним знакам.

2. Рассматривается задача о давлении прямоугольного штампа на жестко-вязко-пластическое полупространство с решением, аналогичным решению Хилла для жестко-пластического полупространства [2]. Аналогично могут быть учтены эффекты вязкости и при обобщении решения Прандтля [1].

Для простого деформирования вида (1.18) в (1.4) $\varphi(x, y)$ есть функция только координат, причем справедливы равенства (1.19).

Связем оси координат x , y с центром приложения штампа длиной $2a$ к жестко-вязко-пластическому полупространству. Ось x направлена вдоль контактного участка, ось y — вдоль линии действия приложенных сил. Вдоль контактного участка оси x компоненты тензора напряжений равны

$$\sigma_y = -p(t), \quad \tau_{xy} = 0, \quad \varphi = 0 \quad (2.1)$$

Вдоль свободного участка оси x имеем

$$\tau_y = \tau_{xy} = 0, \quad \varphi = \frac{\pi}{2} \quad (2.2)$$

Перепишем уравнения характеристик в плоскости (φ, σ) , проинтегрировав (1.20)

$$\varphi + k = \eta_{\pm} = \text{const}_{x,y} \quad (2.3)$$

где

$$\begin{aligned} \lambda &= \frac{1}{2g} \hat{k}^{-1} [g(\sigma - \sigma_0)] \\ \sigma &= \pm \frac{1}{g} \hat{k} (2g\varphi) + \frac{1}{g} \hat{k} (gD_{\mp}) \\ \eta_{\pm} &\equiv \pm \frac{1}{2g} \hat{k}^{-1} (g\sigma_0) \pm \frac{D_{\mp}}{2} \end{aligned} \quad (2.4)$$

а η_{\pm} или $D_{\mp}(t)$ — произвольные функции времени, появившиеся после интегрирования (1.20) по координатам, σ_0 — произвольная функция времени,

В качестве жестких областей примем такие же области, как и при решении Хилла [2]. В жесткой треугольной области под площадью контакта из граничных условий (2.1) и непрерывности поля напряжений при переходе из жесткой области и в вязко-пластическую, и в область штампа определяются напряжения σ и σ_x

$$\begin{aligned} \sigma &= \frac{\hat{k}g}{g} - p(t) \\ \sigma_x &= 2 \frac{\hat{k}g}{g} - p(t) \end{aligned} \quad (2.5)$$

В жесткой треугольной области по [2], обладающей свободным участком границы, из (2.2), непрерывности напряжений при переходе из жесткой области и на границу, и в вязко-пластическую область получаются напряжения σ и σ_x

$$\sigma = -\frac{\hat{k}g}{g}, \quad \sigma_x = -2 \frac{\hat{k}g}{g} \quad (2.6)$$

В вязко-пластической области под угловой точкой штампа определим напряжения σ вдоль характеристики $\eta_{\pm} = \text{const}_{x,y}$, используя вдоль нее вторую формулу (2.4). Сравним одинаковые напряжения σ , определяемые по (2.6) и по второму равенству (2.4) для D_{\mp} при непрерывном переходе из жесткой области в вязко-пластическую. Тогда

$$\frac{1}{g} \hat{k} (gD_{\mp}) = -(\pi + 1) \frac{\hat{k}g}{g} \quad (2.7)$$

Отсюда получаем, что

$$D_{\mp} = -(\pi + 1) h(t) \quad (2.8)$$

Подставляя (2.8) во второе равенство (2.4), для D_{\perp} найдем, что вдоль характеристики $\gamma_{x,y} = \text{const}$

$$\sigma = (2\varphi - \pi - 1) \frac{\hat{k}g}{g} \quad (2.9)$$

Таким образом, в вязко-пластической области из (2.9) и (1.5) вытекают выражения для компонент тензора напряжений вдоль характеристик

$$\begin{aligned}\tau_x &= (2\varphi - \pi - 1 + \cos 2\varphi) \frac{\hat{k}g}{g} \\ \tau_y &= (2\varphi - \pi - 1 - \cos 2\varphi) \frac{\hat{k}g}{g} \\ \tau_{xy} &= \sin 2\varphi \frac{\hat{k}g}{g}, \quad 0 \leq \varphi \leq \frac{\pi}{2}\end{aligned}\quad (2.10)$$

Напряжения (2.9) при $\varphi = 0$ по непрерывности равны напряжениям σ в (2.5) для жесткой области. Поэтому вдоль процесса (1.18) постоянное по координатам, но переменное по времени давление p определяется интенсивностью скоростей деформирования g и функцией влияния материала $k(t)$

$$p(t) = (\pi + 2) \frac{\hat{k}g}{g} \quad (2.11)$$

Введем дополнительное условие, что часть полуплоскости под линией скольжения γ_{\perp} остается жесткой, то есть следуя Хиллу, скорость v_n , нормальная к линии скольжения, разделяющей неподвижную жесткую область и вязко-пластическую, равна нулю ($v_n = 0$). С учетом этого компоненты скоростей деформаций согласно [2] в области вязко-пластичности даются равенствами в полярной системе координат

$$e_r = e_\theta = 0, \quad \gamma_{r\theta} = -\frac{\sqrt{2}v_0(t)}{r} \quad (2.12)$$

где $v_0(t)$ — скорость движения штампа.

Отсюда интенсивность скорости деформации

$$g = \frac{v_0(t)}{\sqrt{2}r} \quad (2.13)$$

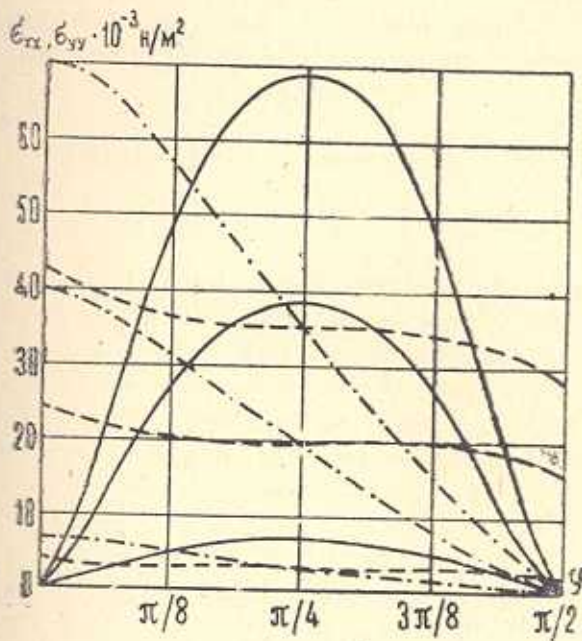
то есть принадлежит классу функций (1.18).

Подставляя (2.13) в (2.11), получим связь скоростей движения штампа с возникающими давлениями под штампом

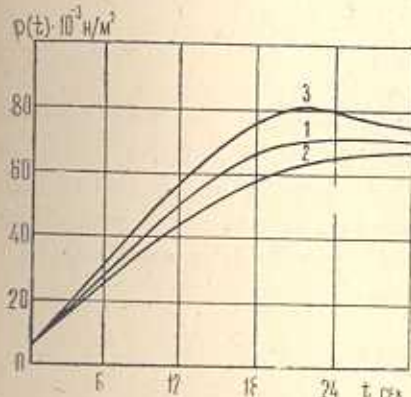
$$p(t) = (\pi + 2) \frac{\hat{k}v_0(t)}{v_0(t)} \quad (2.14)$$

Заметим, что в отличие от (2.14) для идеальной пластичности давление под штампом не зависит от скорости движения штампа.

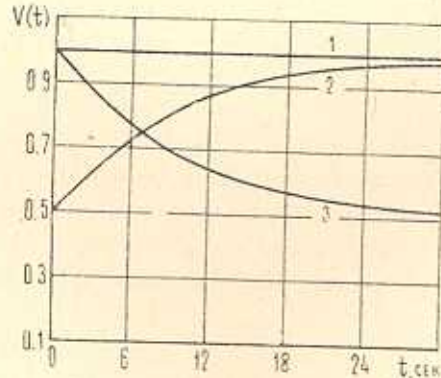
На фиг. 1 для полизобутилена приводятся зависимости напряжений σ_{xx} (—), σ_{yy} (---), τ_{xy} (—) от угла φ (параметра вязко-пластической зоны с вершиной в угловой точке штампа), существенно не совпадающие в разные моменты t из-за эффектов вязкости. Верхние кривые близки к соответствующим кривым для идеальной пластичности с пределом текучести $k(\infty)$.



Фиг. 1.



Фиг. 2а.



Фиг. 2б.

На фиг. 2а приводятся изменения давления штампа от времени для трех режимов изменения скорости движения штампа v_0 (фиг. 2б). Цифры у кривых соответствуют N — номеру режима, причем

$$v_0 = h(t) \quad \text{при } N=1$$

$$v_0 = 1 - \frac{1}{2} \exp(-\Lambda t) \quad \text{при } N=2, \quad \Lambda = 1/10 \text{ с}$$

$$v_0 = [1 + \exp(-\Lambda t)]/2 \quad \text{при } N=3$$

ՀԱՅ ԿՈՂՐԻՒԱՏՆԵՐԻ ԽՎ ԺԱՄԱՆԱԿԻ ԲԱԺԱՆՎՈՂ ԳԵՖՈՐՄԱՑԻԱՆԵՐԻ
ԱՐԴՅՈՒԹՅԱՆ ԽԵՏԵՆՍՎՈՒԹՅՈՒՆԸ ԿՈՇՏ ՄԱՍՈՒՅՑԻԿԱՊԼԱՍՏԻԿԱՆ
ԿԻՍԱՏԱՐԱԾՈՒԹՅԱՆ ՀԱՄԱՐՈՒ ԳԵՖՈՐՄԱՑԻԱՆ ԳՐՈՇՄԱՎ

Գ. Գ. ԿՈՂՈՎՈՂԻԿՈՎ, Ե. Գ. ԿՈՂԻՔԱՆՅԱՆ

Ա մ փ ո փ ո ւ մ

Հասունության ուշացումով կոշտ մածուցիկա-պլաստիկական մոդելի օգտագործումով ստացված են ժամանակի ֆիբրած պահին խարակուերիստիկ հավասարումներ: Հստ կորդինատների և ժամանակի բաժանվող դեֆորմացիաների արագության ինտենսիվությունով հասարակ դեֆորմացման մասնակի դասի համար կառուցված է խիլի լուծումների բնորդացումը մածուցիկապլաստիկական աղղեցությունների առկայության դեպքում: Խուճումը թվային նկարագրված է պոլիֆիզորուտիլենից կիսատարածության համար:

SIMPLE DEFORMATION BY STAMP WITH DEFORMATION SPEED INTENSITY SEPARATED BY COORDINATES AND TIME FOR HARD VISCOUS-PLASTIC SEMISPACE

V. V. KOLOKOLCHIKOV, E. G. KURZHANSKAYA

Summary

In this paper the model of hard viscous-plastic material with delayed currency is used. The equations received are equations of characteristic in the fixed moment of time. Generalization of Hill solution for viscous-plastic effects describing the model in consideration was found for this special class of simple deformation with deformation speed intensity separated by coordinates and time.

ЛИТЕРАТУРА

1. Прандтль А. Примеры применения теоремы Генки к равновесию пластических тел.—В кн.: «Теория пластичности», ИЛ, 1948.
2. Хильд Р. Математическая теория пластичности.—ИЛ, 1948.
3. Илев А. А. Об одном обобщении решения Прандтля для сферического деформированного состояния.—Тр. НИИ математики ВГУ. Воронеж, 1973, вып. 10, с. 1—3.

4. Мясников В. П. Некоторые точные решения для прямолинейных движений вязко-пластической среды.—ПМТФ, 1961, № 2.
5. Быковцев Г. И., Чернышов А. Д. О вязко-пластическом течении в некруговых цилиндрах при наличии перепада давления.—ПМТФ, 1964, № 4, с. 94—96.
6. Емельянов Е. М., Чернышов А. Д. Об образовании жестких зон в вязко-пластической среде.—ПМТФ, 1974, № 3, с. 143—148.
7. Ивлев Д. Д. Теория идеальной пластичности. М.: Наука, 1966.
8. Соколовский В. В. Теория пластичности. М.: Наука, 1969.
9. Арутюнян Н. Х., Ивлев Д. Д. К теории вязко-пластичности неоднородно стареющих тел.—Изв. АН Арм. ССР, Механика, 1982, т. 35, № 5, с. 22—26.
10. Арутюнян Н. Х. Об уравнениях состояния в нелинейной теории ползучести неоднородных стареющих тел.—ДАН СССР, 1976, 231, № 3.
11. Фихман В. Д., Радушкевич Б. В., Виноградов Г. В. Реологические свойства полимеров при растяжении с постоянной скоростью растяжения.—В кн.: «Успехи реологии полимеров», М.: «Химия», 1970.

Куйбышевский государственный университет

Поступила в редакцию

15. II. 1982